

УДК @@@

# АВТОМАТИЗИРОВАННАЯ СИСТЕМА КОНТРОЛЯ И УПРАВЛЕНИЯ КОМПЛЕКСОМ ПОДГОТОВКИ ГАЗОВОЙ СМЕСИ ДЛЯ ЭКСПЕРИМЕНТАЛЬНОГО ИССЛЕДОВАНИЯ МЮОННОГО КАТАЛИЗА ЯДЕРНЫХ РЕАКЦИЙ СИНТЕЗА

© 2004 г. Ю. И. Виноградов, В. С. Арюткин, В. А. Курякин, В. В. Травкин, А. А. Юхимчук,  
С. В. Фильчагин

РФЯЦ “ВНИИ экспериментальной физики”

Россия, 607190, Саров Нижегородская обл., просп. Мира, 37

Поступила в редакцию 14.05.95 г.

Описана автоматизированная система контроля и управления комплексом подготовки газовой смеси установки “Тритон”, предназначенный для проведения экспериментальных исследований мюонного катализа ядерных реакций синтеза в тройных смесях изотопов водорода H/D/T в широком диапазоне температур и давлений. Система обеспечивает контроль и управление комплексом подготовки газовой смеси, контроль и управление параметрами мишени, контроль состава газовой смеси и дозиметрический контроль. В ходе многочисленных физических экспериментов продемонстрированы хорошие эксплуатационные характеристики, высокая надежность и возможность быстрой адаптации системы для решения новых задач.

## ВВЕДЕНИЕ

Для проведения систематических исследований мюонного катализа ядерных реакций синтеза в тройных смесях изотопов водорода H/D/T в диапазоне температур 20–800 К, давлений до 160 МПа и активностях трития в свободном состоянии до 10 кКи коллаборацией РФЯЦ–ВНИИЭФ (Саров) и ОИЯИ (Дубна) создана установка “Тритон”. Установка содержит комплекс для подготовки газовой смеси (к.п.г.с.) [1], криогенную установку [2], систему детектирования и регистрации продуктов ядерных реакций [3], сменные мишени, структурно входящие в к.п.г.с.: жидкотритиевую [4], тритиевую мишень высокого давления [5], дейтериевую мишень высокого давления [6] и ряд других.

Конструктивно комплекс состоит из десяти связанных между собой установок и систем (рис. 1) [1].

• герметичного бокса, в котором расположены основные функциональные элементы к.п.г.с., обеспечивающие подготовку смеси заданного состава и чистоты и подачу ее к мишени;

• вакуумного пульта, обеспечивающего вакуумирование рабочих газовых коммуникаций, утилизацию основного количества тритийсодержащей газовой смеси и молекулярный анализ газовой смеси;

• ресивера, предназначенного для сброса “хвостов” газовой смеси с выхлопов форвакуумных насосов;

- установки газовой очистки, предназначеннной для очистки газовых смесей от следов трития и его соединений, находящихся в герметичных объемах (боксе, ресивере и т.п.);
- установки раннего предупреждения выбросов, предназначенной для предотвращения выбросов в атмосферу газовых смесей, содержащих тритий выше установленных норм;
- сборки насосов, обеспечивающих вакуумирование газовых коммуникаций, герметичных технологических объемов, ресивера и т.п.;
- баллонного поста, обеспечивающего подачу диффузионно–чистых протия и дейтерия к к.п.г.с., заполнение герметичных технологических объемов инертным газом и питание газового радиохроматографа газом–носителем;
- системы радиометрического контроля, обеспечивающей контроль состояния элементов к.п.г.с. и радиационной обстановки в рабочей зоне;
- электрического пульта, обеспечивающего управление и контроль к.п.г.с. и мишени высокого давления;
- автоматизированной системы контроля, обеспечивающей контроль состояния основных элементов к.п.г.с. и мишени высокого давления, а также автоматическая запись протокола эксперимента.

На начальном этапе управление и контроль к.п.г.с. и мишениями осуществлялись с электрического пульта. Пульт обеспечивал измерение тем-

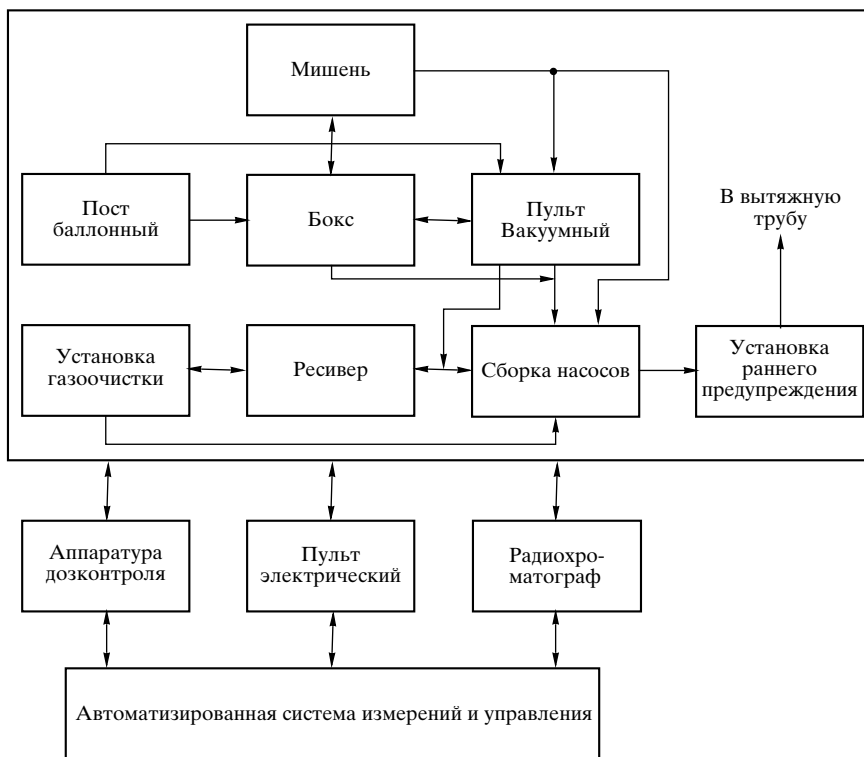


Рис. 1. Структурная схема к.п.г.с. [1].

ператур и давлений, управление вакуумными насосами и измерение вакуума, регулирование температуры источников и фильтров.

Контроль аналоговых технологических параметров осуществлялся с помощью автономных приборов, все операции регулирования выполнялись вручную и требовали постоянного внимания оператора.

Автоматизированная система контроля комплекса дублировала контрольные функции пульта и выполняла ряд других задач:

- контроль состояния вентилей и клапанов комплекса;
- контроль температур и давлений в узлах комплекса;
- контроль состава газовой смеси;
- контроль параметров мишени;
- ведение протокола эксперимента;
- математическая обработка данных.

Система контроля была разработана на базе модульной аппаратуры в стандарте КАМАК (анalogовые мультиплексоры, аналого-цифровые преобразователи, входные регистры) и аппаратуры с интерфейсом IEEE-488 (вольтметры электрометрические). В этом виде автоматизированная система контроля использовалась с 1996 по 1998 год.

В 1999 г. была проведена поэтапная модернизация автоматизированной системы контроля комплекса. Модернизированная система контроля и управления (с.к.у.) реализована на современной аппаратуре, ей переданы практически все функции электрического пульта, за исключением управления насосами.

Ниже приведено описание современного состояния автоматизированной системы контроля и управления комплекса.

## 1. СТРУКТУРА И АППАРАТУРНЫЙ СОСТАВ С.К.У.

В составе системы контроля и управления можно выделить следующие основные подсистемы:

- контроля и управления элементами к.п.г.с.;
- радиационного контроля;
- мишени (ТМВД/5/, ДМВД/6/, ЖТМ/4/);
- контроля молекулярного состава газовой смеси [7].

В процессе подготовки эксперимента и при его проведении необходимо учитывать следующие особенности эксплуатации подсистем с.к.у.:

- подсистемы подготовки газовой смеси и радиационного контроля используются непрерывно с начала подготовки эксперимента и до его завершения;

- подсистема мишени используется на этапе подготовки мишени, при ее заполнении и эксплуатации;
- подсистема контроля молекулярного состава используется периодически для анализа проб газовой смеси;
- часто возникает необходимость одновременной работы операторов со всеми указанными подсистемами.

Учитывая необходимость наблюдения за большим количеством технологических и физических параметров и одновременной работы со всеми подсистемами комплекса, а также для удобства работы оперативного персонала, обслуживающего к.п.г.с., с.к.у. конструктивно выполнена в виде трех подсистем. Каждая подсистема базируется на отдельном персональном компьютере. Компьютеры подсистем объединены между собой по сети Ethernet.

Первая подсистема обеспечивает работу к.п.г.с. и радиационный контроль, вторая – работу с мишенью, а третья – контроль молекулярного состава газовой смеси.

Подсистемы контроля и управления построены в виде распределенных сетей из набора интеллектуальных модулей, связанных с управляющим компьютером по стандартам RS-232 и RS-485.

Для аналогового/дискретного контроля и управления выбраны модули серии I-7000 фирмы ICP DAS. Модули этой серии по многим аппаратным характеристикам совместимы с изделиями других производителей (ADAM, NUDAM, серия 6B Analog Devices), но обладают рядом преимуществ, которые обеспечивают надежность и безопасность системы автоматизации. К таким преимуществам относятся:

- наличие аппаратного сторожевого таймера, который автоматически перезапускает модуль в случае его “зависания”;
- наличие программного сторожевого таймера, который отслеживает состояние управляющего компьютера и в случае его “зависания” или обрыва коммуникаций переводит все выходы модуля в заранее предустановленные (по условиям безопасности) для подобного случая состояния;
- возможность “горячей”, т.е. без выключения системы, замены любого модуля.

Для контроля вакуума используются датчики фирмы Balzers Instruments, которые подключаются к контроллерам TPG, оснащенным интерфейсом RS-232. Для контроля радиационной обстановки используются микропроцессорные контроллеры KPO с интерфейсом RS-485, а для контроля состояний вентилей и клапанов – ISA-адаптер дискретного ввода/вывода DIO-144.

При проведении экспериментов на аппаратуру системы контроля и управления воздействуют эле-

ктромагнитные помехи, возникающие при включении/выключении и работе вакуумных насосов, электромагнитных вентилей, нагревателей и т.д. Поэтому при разработке с.к.у. особое внимание было уделено обеспечению помехозащищенности измерительных каналов и каналов управления, гальванической изоляции входных и выходных цепей.

Программное обеспечение системы измерений и управления комплекса разработано на базе пакета CRW-DAQ, который представляет собой мощную многооконную среду для создания измерительных систем, систем управления и обработки данных. Ядро программного пакета CRW-RUN.EXE запускается в системе DOS или в сеансе DOS под Windows 95/98 на всех трех компьютерах С.К.У.. Конкретная программа работы на каждом компьютере определяется загружаемым конфигурационным файлом, который подобен .ini-файлу операционной системы Windows.

## 2. ПОДСИСТЕМА К.П.Г.С. И РАДИАЦИОННОГО КОНТРОЛЯ

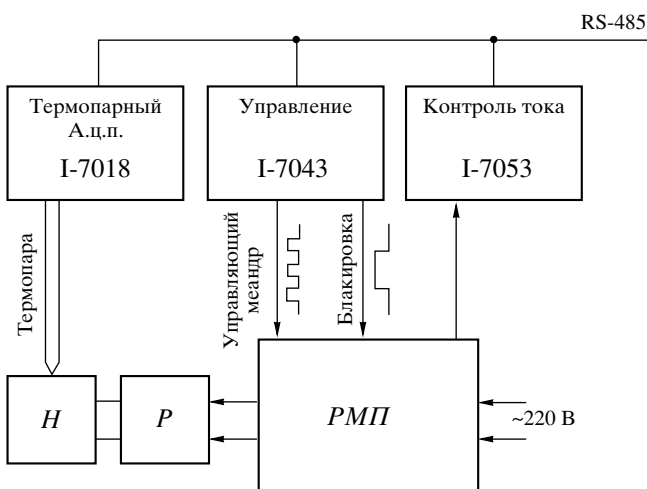
Комплекс подготовки газовой смеси [1] обеспечивает подготовку смеси заданного состава и чистоты и подачу ее в мишень, вакуумирование газовых коммуникаций, утилизацию основного количества тритийсодержащей газовой смеси, очистку газовых смесей от следов трития и его соединений.

### 2.1. Управление нагревателями

В к.п.г.с. в качестве источников газа используются генераторы на основе гидридов металлов [8], а для очистки от примесей – диффузионные палладиевые фильтры [9]. При работе генераторов и фильтров необходимо управлять температурой их нагрева, контролировать и стабилизировать температуру, контролировать обрывы в цепях нагрузки, отключать электропитание нагревателей при превышении заданных температур и давлений, блокировать возможность включения нагревателей при определенных состояниях вентилей.

Для управления нагревом была разработана многоканальная программируемая подсистема. При ее разработке особое внимание было уделено надежности и защищенности в случае аварийных ситуаций; подсистема ни в коем случае не должна допускать перегрев нагреваемого объекта выше критического уровня, а в ряде случаев должна блокировать нагреватель по превышению давления, уровня радиации и т.д. Блок-схема одного канала управления нагревом приведена на рис. 2.

Температура нагрева измеряется термопарой, термо-э.д.с.  $\epsilon$  регистрируется модулем многоканального аналогового ввода I-7018 с точностью



**Рис. 2.** Блок-схема канала управления нагревом. РМП – регулятор мощности полупроводниковый; Р – реле блокировки нагревателя; Н – нагреватель; I-7018 – многоканальный модуль аналогового ввода; I-7043 – многоканальный модуль дискретного вывода; I-7053 – многоканальный модуль дискретного ввода.

0.05%. Преобразование термо-Э.Д.С. в температуру выполняется с использованием сплайн-описания стандартной табличной зависимости  $\varepsilon(T)$  термопары данного типа. Программное обеспечение подсистемы позволяет работать практически с любыми типами стандартных термопар (хромель/алюминий, хромель/копель, медь/константан, железо/константан, вольфрам/рений и т.д.).

Для управления нагревом разработаны полупроводниковые регуляторы мощности, управляемые внешним логическим сигналом. Максимальная выходная мощность регулятора до 1 кВт, регулирование осуществляется методом широтно-

импульсной модуляции с периодом 2–5 с. Нагреваемые объекты достаточно массивны, поэтому колебания, связанные с включением/выключением мощности, интегрируются и на наблюдаемой температуре объекта не проявляются. Управление регуляторами мощности осуществляется компьютером через многоканальные модули дискретного вывода I-7043, температура стабилизируется с точностью  $\pm 2^\circ\text{C}$ .

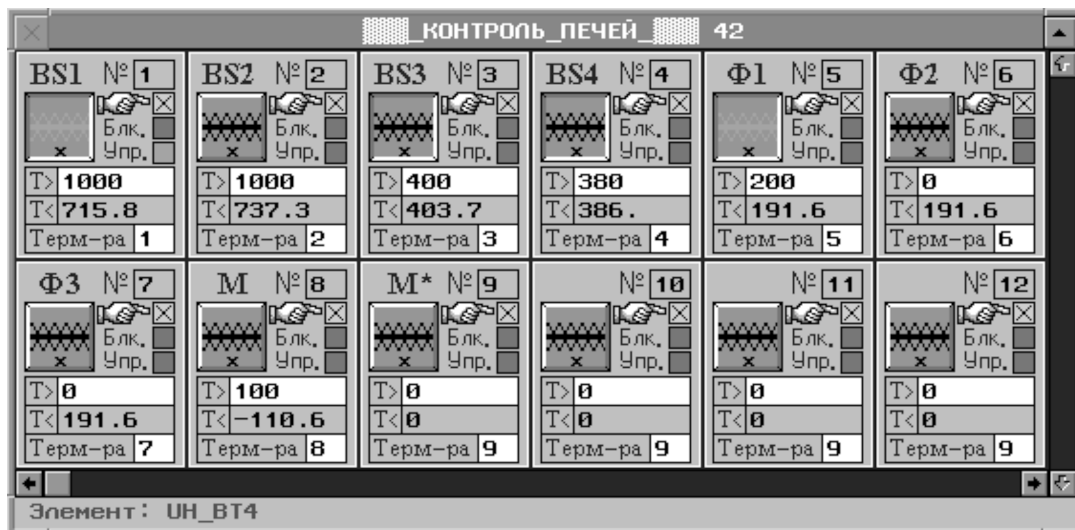
В регуляторе мощности имеется датчик тока нагрузки, выходной сигнал датчика регистрируется модулем дискретного ввода I-7053. На случай неконтролируемой подачи мощности на нагреватель, например в случае короткого замыкания выходного элемента регулятора, введено реле блокировки, управляемое через модули дискретного вывода I-7043.

Надежность и защищенность подсистемы обеспечены применением модулей серии I-7000, которые при потере управления со стороны компьютера автоматически выключают регулятор мощности и включают релейную блокировку.

Подсистема контроля и управления к.п.г.с. содержит семь таких каналов регулирования для генераторов BS<sub>1</sub>, BS<sub>2</sub>, BS<sub>3</sub>, BS<sub>4</sub> и фильтров F<sub>1</sub>, F<sub>2</sub>, F<sub>3</sub>. Управление нагревом осуществляется через активную мнемосхему, изображенную на рис. 3. Программное обеспечение канала позволяет измерять, задавать и стабилизировать температуру нагрева, задавать условия блокировки нагревателей по температурам и давлениям.

## 2.2. Контроль аналоговых и дискретных параметров комплекса

Для контроля вакуума в узлах комплекса используются четыре термовакумметрические



**Рис. 3.** Панель управления нагревателями к.п.г.с. и график стабилизации температуры.

лампы ПМТ-4М и два датчика для измерения вакуума IKR261, TPR260 (фирмы Balzers). Лампы ПМТ подключаются к электронному блоку, обеспечивающему регулировку и контроль тока ламп. Выходное напряжение термопреобразователей ламп ПМТ-4М измеряется многоканальным модулем аналогового ввода I-7018, давление вычисляется по приведенной в документации лампы калибровке.

Датчики фирмы Balzers подключаются через 6-канальный контроллер TPG-256, управление контроллером и сбор цифровых данных осуществляются через порт RS-232.

Высокие давления измеряются тензометрическими датчиками, а низкие давления, до 10–20 атм, – датчиками САПФИР. Питание тензометрических датчиков осуществляется от стабилизированного блока питания с выходным напряжением +12 В. Выходные сигналы тензометрических датчиков и датчиков САПФИР регистрируются модулями аналогового ввода I-7018. Для преобразования зарегистрированных напряжений в давление используются полиномиальные описания индивидуальных калибровок каждого датчика.

Состояния вентилей *B* и электромагнитных клапанов ЭК установки (110 датчиков положений, по два датчика на каждый вентиль и клапан) контролируются адаптером дискретного ввода/вывода DIO-144, установленным на ISA-шине управляющего компьютера. Сигналы дискретных датчиков поступают на цифровые входы адаптера через коммутационный блок, который обеспечивает их преобразование в уровни т.т.л. Состояния четырех датчиков давления воды контролируются многоканальным модулем дискретного ввода I-7053. Программа системы автоматизации обеспечивает отображение состояний вентилей, клапанов и датчиков давления воды на экране компьютера.

### *2.3. Структура подсистем к.п.г.с. и дозиметрического контроля*

Подсистема контроля и управления к.п.г.с. и дозиметрического контроля базируется на управляющем компьютере *ПК* (рис. 4).

Для подключения к компьютеру устройств с разными интерфейсами и скоростями передачи (модули серии I-7000, контроллер TPG-256, контроллеры радиационной обстановки *KPO*) используется интеллектуальный, адресуемый преобразователь интерфейса на базе PC-совместимого микропроцессорного контроллера I-7188, имеющего 4 порта последовательного ввода/вывода. Порт COM4 (RS-232) используется для связи с управляющим компьютером.

Неадресуемый контроллер TPG-256 подключается к порту COM1 модуля I-7188 и, с точки зрения управляющего компьютера, имеет собствен-

ный виртуальный адрес. Модули серии I-7000 подключаются к порту COM2 (RS-485, скорость обмена 115200 Бод). Двухканальные измерительные блоки контроля радиационной обстановки подключаются через порт COM3 (RS-485, скорость обмена 9600 Бод).

#### *2.4. Дозиметрический контроль*

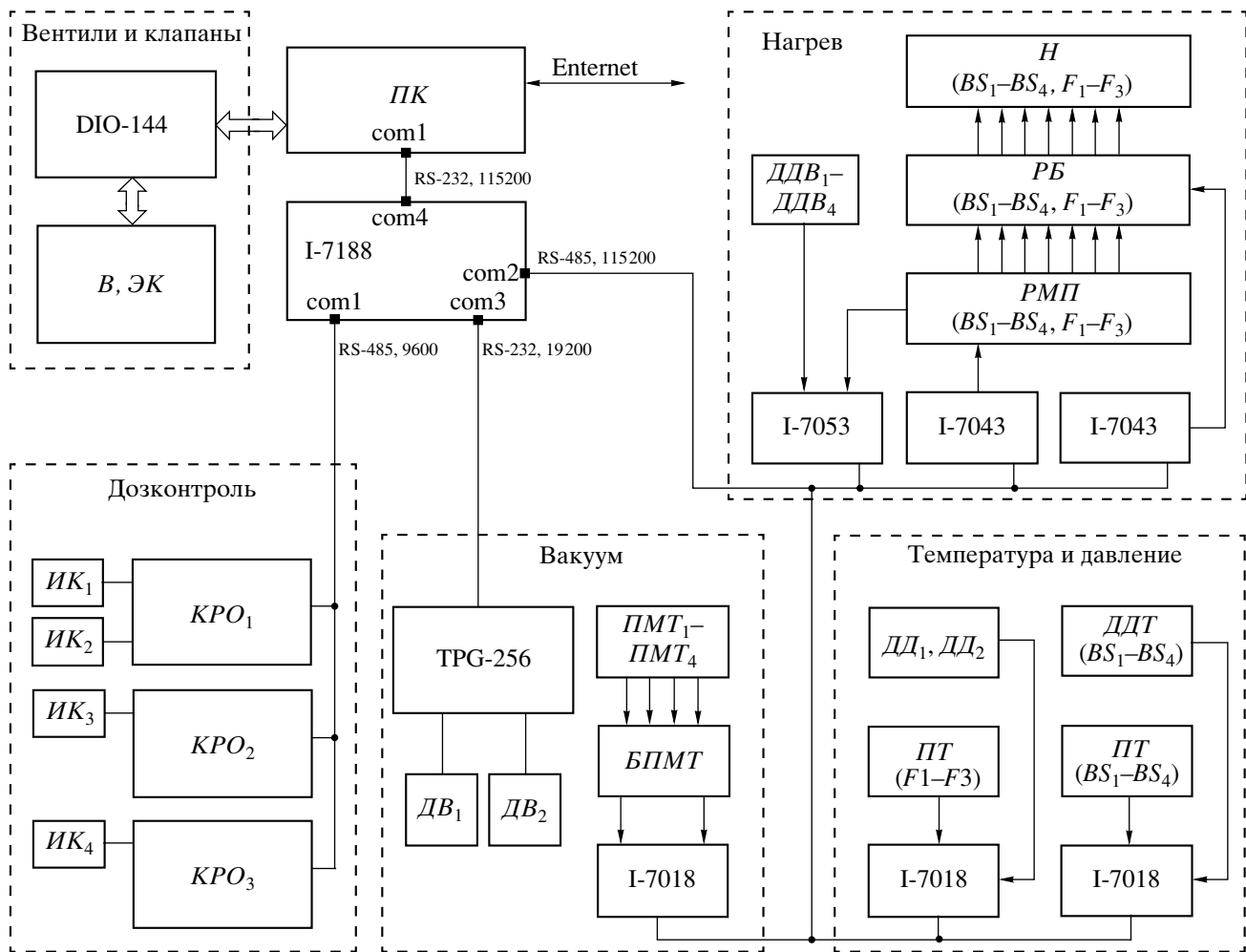
При проектировании комплекса газового обеспечения особое внимание уделялось вопросам радиационной безопасности при работе с тритием. Безопасность обеспечивается как путем использования принципов физической защиты при построении газовой системы установки, так и подсистемой дозиметрического контроля по тритию.

На начальном этапе для измерения объемной активности трития в газовых коммуникациях и воздухе рабочей зоны использовались промышленные радиометры газов РГБ-06. Радиометр состоит из блока детектирования БДГБ-02П (проточной или диффузионной ионизационной камеры объемом 1 л или 10 л с преобразователем БПН-16П) и измерительного пульта УИ-117П, который служит для приема информации и управления блоком детектирования.

Поскольку радиометры РГБ-06 не имеют средств для включения в автоматизированные системы контроля и управления, при модернизации системы был разработан автоматизированный многоканальный радиометр трития РГБ-06МА. В нем обеспечена совместимость с унифицированными блоками детектирования БДГБ-02П и возможность интеграции в системы управления установок. Радиометр состоит из микропроцессорного контроллера радиационной обстановки (*KPO*), к которому можно подключить два промышленных блока детектирования БДГБ-02П. Контроллер радиационной обстановки обеспечивает:

- управление режимами работы блоков детектирования (измерение, контроль, блокировка);
- измерение объемной активности трития с учетом фонового уровня объемной активности;
- двухпороговый анализ состояния радиационной обстановки по каждому из каналов и управление двумя стандартными внешними блоками сигнализации БСР-19П;
- связь контроллера с управляющим компьютером по стандарту RS-485.

Радиометр РГБ-06МА прошел процедуру утверждения типа средства измерения (получен сертификат RU.C.38.046.A №11019 от 01.11.2001). Он обеспечивает измерение объемной активности по тритию в диапазоне от  $5 \cdot 10^5$  до  $5 \cdot 10^{10}$  Бк с ионизационной камерой объемом 1 л, и от  $5 \cdot 10^4$  до  $5 \cdot 10^9$  Бк с камерой объемом 10 л. Предел допускаемой относительной основной погрешности измерения объемной активности трития не более



**Рис. 4.** Структурная схема подсистемы к.п.г.с. и дозиметрического контроля. *ПК* – управляющий компьютер подсистемы; *I-7188* – PC-совместимый микропроцессорный контроллер; *DIO-144* – 144-канальный ISA-адаптер дискретного ввода/вывода; *Б, ЭК* – контролируемые вентили и электромагнитные клапаны; *КРО* – микропроцессорные контроллеры радиационной обстановки; *ИК* – ионизационные камеры; *TPG-256* – 6-канальный контроллер для вакуумных датчиков фирмы Balzers; *ДВ* – датчики вакуума фирмы Balzers; *ДД* – датчики давления САПФИР-22-Ex-M; *ПМТ* – лампы типа *ПМТ-4*; *БПМТ* – блок подключения ламп *ПМТ*; *ПТ* – преобразователи термопарные; *РМП* – регуляторы мощности полупроводниковые; *РБ* – реле блокирующие; *ДДТ* – датчики давления тензометрические; *H* – нагреватели; *ДДВ* – датчики давления воды; *I-7018* – 8-канальный модуль аналогового ввода; *I-7043* – 16-канальный модуль дискретного ввода.

(25%, а при градуировании и поверке по  $\gamma$ -излучению  $^{60}\text{Co}$  – не более  $\pm 20\%$ .

Радиометр может работать как в автономном режиме, так и в составе многоканальной автоматизированной системы радиационного мониторинга. При работе в автономном режиме обеспечиваются функции измерения объемной активности и пороговой сигнализации. При работе в составе многоканальной системы измерительные блоки контроля радиационной обстановки объединяются в локальную сеть двухпроводной линией связи по стандарту RS-485, который обеспечивает надежную связь управляющей э.в.м. с локальными постами в условиях промышленных помех на удалении до 250 м.

При модернизации в систему контроля и управления комплекса были включены три блока *KPO*, которые обеспечивают контроль по тритию четырем ионизационными камерами (*ИК*) в следующих точках: установка газоочистки, сборка насосов, зона пульта раннего предупреждения и зона размещения управляющих компьютеров системы автоматизированного контроля.

#### 2.5. Программное обеспечение подсистемы к.п.г.с. и дозиметрического контроля

Программа подсистемы контроля и управления к.п.г.с. обеспечивает контроль аналоговых (вакуум, температуры, давления) и дискретных

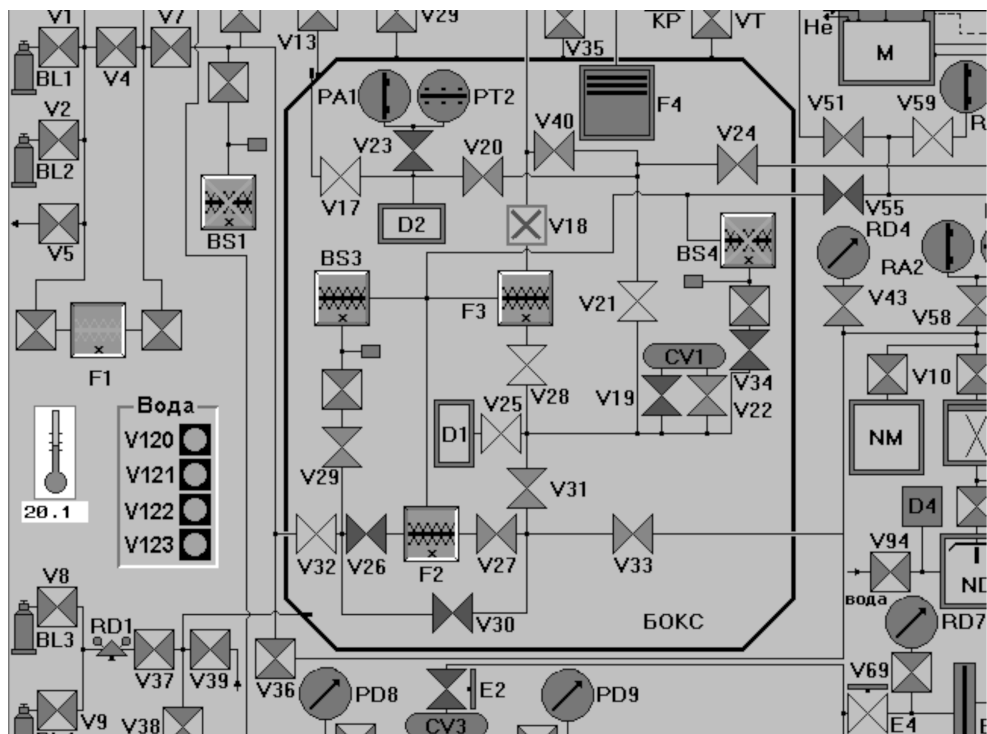


Рис. 5. Графический интерфейс подсистемы к.п.г.с.

(состояния вентилей, клапанов, датчиков давления воды) параметров комплекса.

Контролируемые аналоговые параметры отображаются в текстовой и графической формах в режиме реального времени. Графические окна для отображения аналоговых данных обладают широкими возможностями для просмотра и обработки динамических кривых (выбор кривых для просмотра, масштабирование, фильтрация и т.д.). Программа предусматривает непрерывную запись контролируемых параметров на жесткий диск компьютера.

Отображение состояний узлов комплекса и управление установкой осуществляется через активные графические мнемосхемы. Основная мнемосхема соответствует газовой схеме установки, на рис. 5 представлен ее фрагмент.

Программное обеспечение подсистемы радиационного мониторинга выполняет следующие функции:

- обеспечивает управление измерительными блоками контроля радиационной обстановки (установка режимов работы, установка верхнего и нижнего порогов для индикации состояния радиационной обстановки);
- осуществляет непрерывный контроль за состоянием радиационной обстановки и сохраняет регистрируемые параметры на жестком диске компьютера;

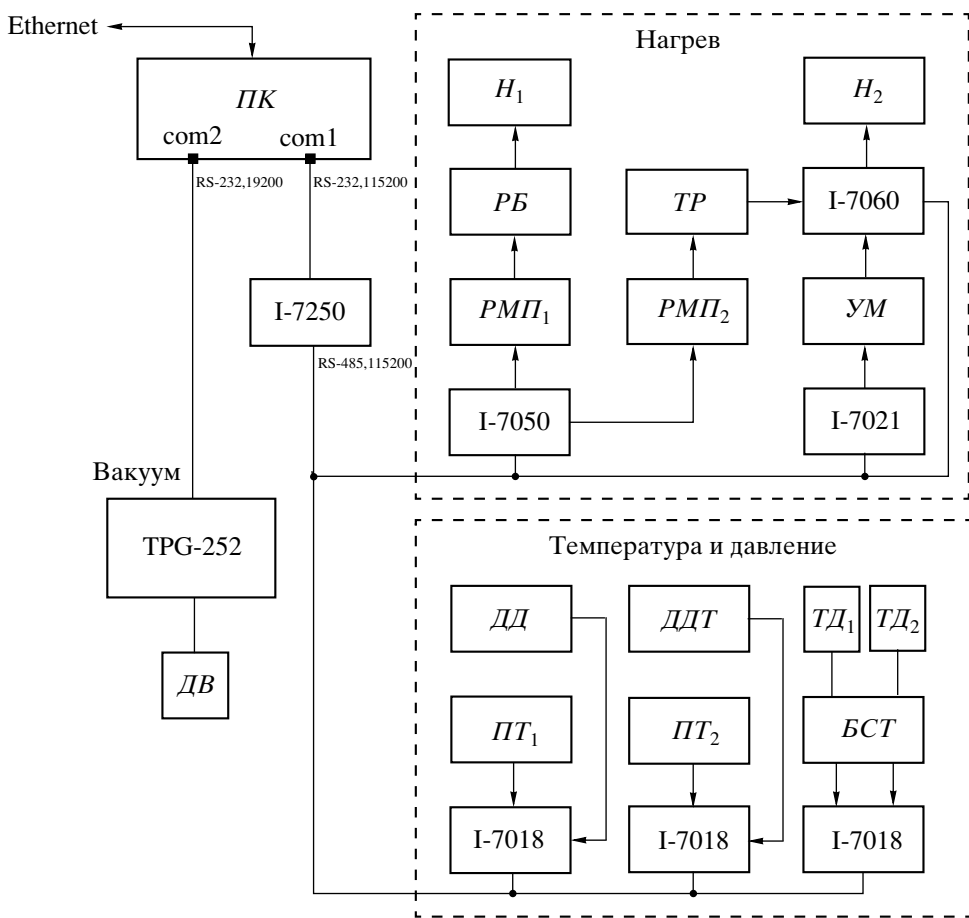
- визуально отображает состояние радиационной обстановки на графическом табло контроля;

- осуществляет звуковое предупреждение персонала при возникновении нештатных ситуаций – превышении заданных порогов объемной активности.

### 3. ПОДСИСТЕМА КОНТРОЛЯ И УПРАВЛЕНИЯ МИШЕНИ

При изучении мюонного катализа в H/D/T-смесях необходимо проведение экспериментов в широком диапазоне температур (от криогенных до 1600 К) и давлений (до 160 МПа). Для этих целей используются мишени различной конструкции, в том числе жидкотритиевая мишень, тритиевая мишень высокого давления, дейтериевая мишень высокого давления. Подсистема контроля и управления мишени обеспечивает работу со всеми типами мишеней. В ее функции входит:

- контроль вакуума;
- измерение высоких температур в двух точках термопарными датчиками;
- измерение высокого давления тензометрическим датчиком;
- измерение низкого давления датчиком САПФИР;
- измерение низких температур в двух точках термодиодными датчиками;



**Рис. 6.** Блок-схема подсистемы контроля и управления мишени.  $H_1$  – нагреватель большой мощности, до 1 кВт;  $H_2$  – нагреватель малой мощности, до 300 Вт;  $РМП$  – регулятор мощности полупроводниковый;  $РБ$  – реле блокировки нагревателя  $H_1$ ;  $УМ$  – усилитель мощности для нагревателя  $H_2$ ;  $TP$  – трансформатор;  $ПТ$  – преобразователь термопарный;  $ТД$  – термодиод;  $ДД$  – датчик давления тензометрический;  $ДДТ$  – датчик давления САПФИР;  $ДВ$  – датчики вакуума фирмы Balzers;  $БСТ$  – блок стабилизаторов тока для термодиодов; I-7520 – модуль преобразователя интерфейса RS-232/RS-485; I-7018 – 8-канальный модуль аналогового ввода; I-7060 – многоканальный модуль релейного вывода; I-7021 – 16-разрядный модуль аналогового вывода; I-7050 – многоканальный модуль дискретного ввода-вывода; TPG-252 – 2-канальный контроллер для вакуумных датчиков фирмы Balzers.

- управление нагревателем с мощностью до 1 кВт;
- управление нагревателем малой мощности для работы при низких температурах;
- стабилизация температуры в рабочем объеме мишени.

Подсистема контроля и управления мишени базируется на персональном компьютере ПК (рис. 6).

Вакуум контролируется датчиком фирмы Balzers, подключенным к компьютеру через двухканальный контроллер TPG-252. Высокое давление измеряется тензометрическим датчиком, на который подается стабилизированное напряжение +12 В. Низкое давление измеряется датчиком САПФИР. Выходные сигналы тензометрических датчиков и датчиков САПФИР регистрируются модулями аналогового ввода I-7018. Для преобразования зарегистрированных напряжений в дав-

ление используются полиномиальные описания индивидуальных калибровок каждого датчика.

Для нагревателя большой мощности  $H_1$  используется канал управления, описанный ранее. Он включает преобразователь термопарный ( $ПT_1$  или  $ПT_2$ ), полупроводниковый регулятор мощности и реле блокировки  $P_1$ . Сигналы термопар регистрируются многоканальным модулем аналогового ввода I-7018. Управление регулятором  $РМП_1$ , управление релейной блокировкой и контроль тока обеспечиваются многоканальным модулем дискретного ввода/вывода I-7050.

Температура в рабочем объеме мишени регулируется нагревателем  $H_2$ . К стабильности температуры и точности ее измерения предъявляются высокие требования. Схема позволяет подключать нагреватель  $H_2$  к выходу усилителя мощности  $УМ$  (усилитель постоянного тока), либо к вы-

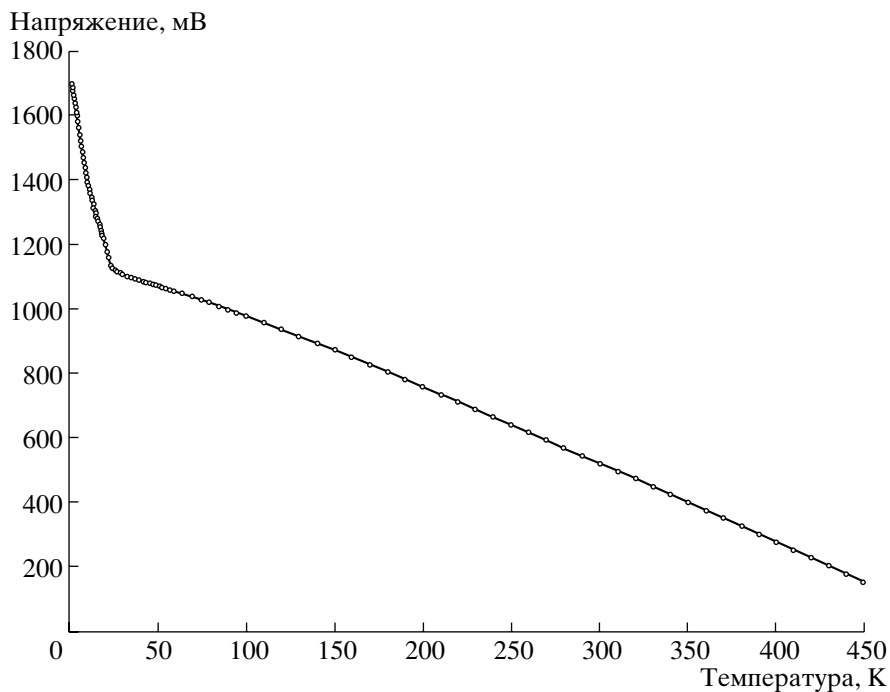


Рис. 7. Типичная температурная характеристика термодиода (кремниевый диод D 200 19 707 фирмы LEYBOLD).

ходу регулятора мощности через понижающий трансформатор.

Регулировка нагрева с помощью усилителя мощности обычно используется при криогенных температурах. Усилитель мощности рассчитан на выходную мощность до 40 Вт (выходное напряжение 20 В при максимальном токе до 2 А), на вход усилителя подается управляющее напряжение от 16-разрядного модуля аналогового вывода I-7021.

Два кремниевых термодиодных датчика обеспечивают измерение температуры в диапазоне от 2 до 330 К (точность измерения  $\pm 0.1$  К в диапазоне 2–100 К и 1% при  $> 100$  К). Термодиоды включены через стабилизаторы тока (ток 10 мА  $\pm 0.05\%$ ), выходные напряжения на термодиодах измеряются многоканальным модулем аналогового ввода I-7018. При вычислении температуры используется сплайн-описание паспортной температурной характеристики кремниевого термодиода, типичный вид которой представлен на рис. 7. Указанная аппаратура и программное обеспечение подсистемы позволяют стабилизировать температуру с относительной точностью  $\pm 0.05$  К.

Для получения на нагревателе  $H_2$  большей мощности можно переключаться на стандартный канал управления нагревом на регуляторе мощности РМП<sub>2</sub>, работающем от сети переменного тока 220 В. Переключение осуществляется программным образом с помощью модуля релейного вывода I-7060. Выбирая коэффициент понижения напряжения трансформатора, можно в широ-

ких пределах менять максимальную мощность на нагревателе.

Программное обеспечение подсистемы мишени позволяет задавать и стабилизировать температуру нагрева рабочей области мишени, регистрировать вакуум, температуры и давления.

В качестве примера приведены экспериментальные температурные кривые охлаждения и стабилизации мишени (рис. 8) и кривые изменения давления (рис. 9) при ресурсных испытаниях тритиевой мишени высокого давления в феврале 2002 г.

#### 4. ПОДСИСТЕМА КОНТРОЛЯ МОЛЕКУЛЯРНОГО СОСТАВА ГАЗОВОЙ СМЕСИ

Контроль молекулярного состава газовой смеси осуществляется детектором теплопроводности и малогабаритной ионизационной камерой объемом 5 см<sup>3</sup>. Разделение изотопов производится на хроматографической колонке длиной 3 м, работающей при температуре жидкого азота. В качестве газа носителя используется неон.

В начальном варианте системы контроля оцифровка выходного сигнала детектора теплопроводности осуществлялась аналого-цифровым преобразователем в стандарте КАМАК. Для измерения тока ионизационной камеры использовались промышленные электрометрические вольтметры В7Э-42 и В7-57/1, подключаемые к компьютеру через интерфейс IEEE-488. Опыт работы с эле-

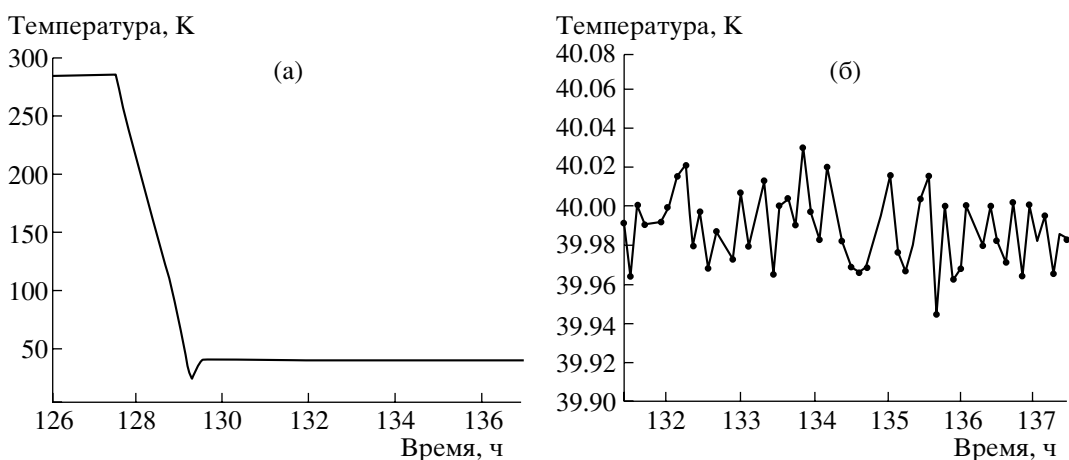


Рис. 8. Кривые охлаждения и стабилизации температуры мишени.

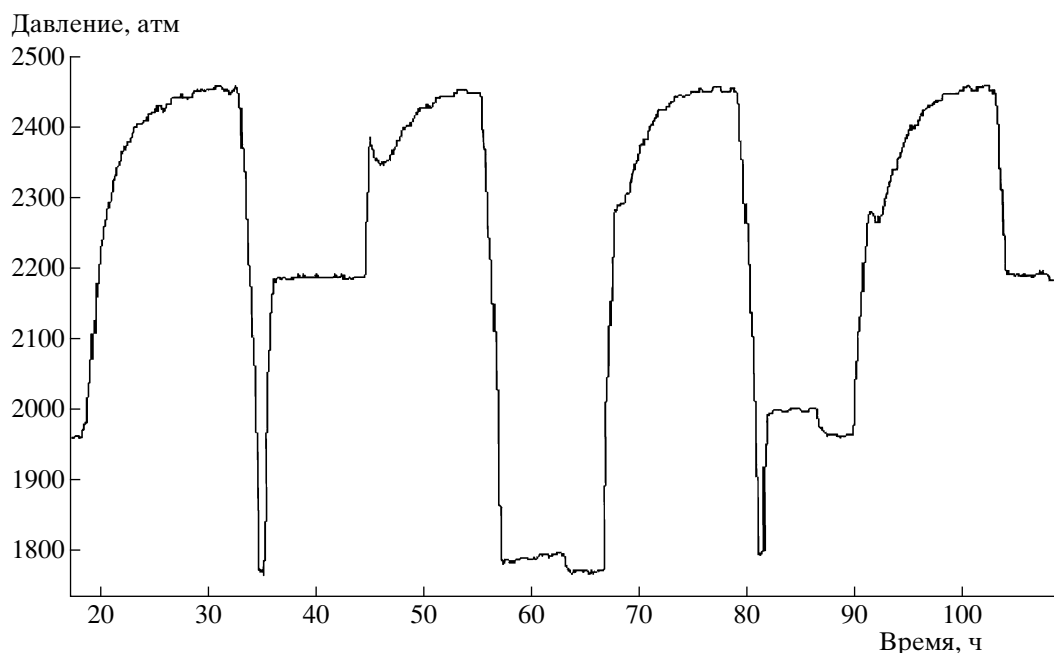


Рис. 9. Измерение давления в мишени.

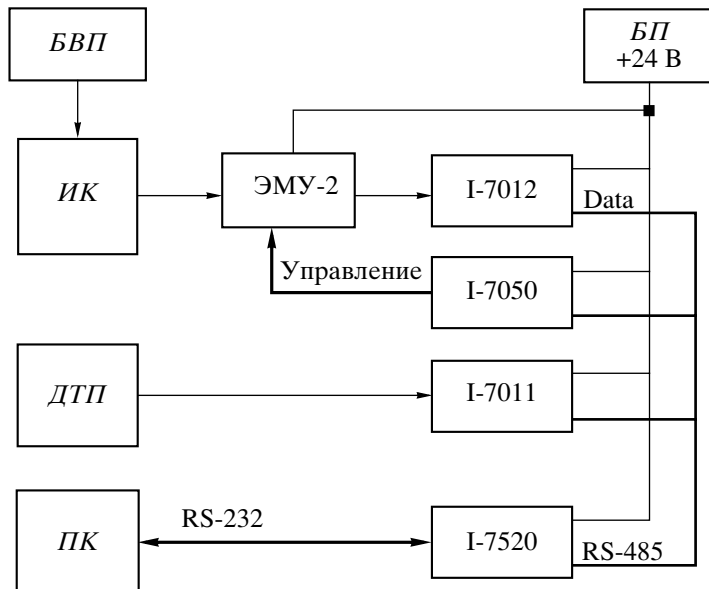
ктрометрическими вольтметрами показал, что при регистрации быстро меняющегося тока (изменение тока на 2–3 порядка при фронте 30 с) наблюдается потеря данных в интервале 10–15 с. Кроме того, различные диапазоны вольтметров плохо “сшиваются” между собой. По этим причинам подсистема контроля молекулярного состава была полностью модернизирована и переведена на современную электронную аппаратуру.

Подсистема контроля молекулярного состава смеси базируется на компьютере *ПК* (рис. 10). Оцифровка выходного сигнала детектора теплопроводности осуществляется модулем аналого-

го ввода I-7011 (диапазон измерений  $\pm 50$  мВ) с частотой 10 раз в секунду и точностью 0.05%.

Для измерения тока ионизационной камеры разработан линейный электрометрический усилитель с переключением диапазонов (ЭМУ-2). Усилитель предназначен для усиления токов от  $10^{-13}$  до  $10^{-5}$  А. Диапазон выходных напряжений усилителя от -5 до +5 В, предусмотрена защита усилителя от короткого замыкания по выходу. При разработке усилителя большое внимание уделялось вопросам экранировки и подавления помех.

Управление переключением четырех диапазонов осуществляется от персонального компьютера



**Рис. 10.** Блок-схема контроля молекулярного состава. *ПК* – персональный компьютер; *БВП* – блок высоковольтного питания; *ИК* – проточная ионизационная камера; *ЭМУ-2* – электрометрический усилитель с переключением диапазонов; *БП* – блок питания +24 В; *ДТП* – датчик теплопроводности; *I-7012* – модуль аналогового ввода; *I-7050* – модуль дискретного вывода; *I-7011* – модуль аналогового ввода; *I-7520* – модуль преобразователя интерфейса RS-232/RS-485.

через модуль дискретного вывода I-7050, а оцифровка выходного сигнала усилителя – модулем аналогового ввода I-7012 (диапазон измерений  $\pm 5$  В). Все модули подсистемы подключаются к управляющему компьютеру двухпроводной линией связи через преобразователь интерфейса RS-232/RS-485 I-7520. Обмен данными выполняется со скоростью 115200 Бод.

Уровень шума на самом чувствительном диапазоне усилителя составляет примерно  $2 \cdot 10^{-14}$  А. Соответствующая кривая измерения тока проточной ионизационной камеры при отсутствии радиоактивных примесей в газе изображена на рис. 11. Шумовой сигнал симметричен относительно нулевой линии, и это позволяет эффективно подавлять шум математическими методами. На этом же графике представлена экспериментальная кривая, сглаженная Фурье-фильтром с шириной окна 1 с. Видно, что уровень шума при этом понизился примерно до  $3 \cdot 10^{-15}$  А.

Программа подсистемы анализа молекулярного состава газовой смеси обеспечивает управление сбором данных, обработку аппаратурных кривых датчика теплопроводности и ионизационной камеры и расчет молекулярного состава смеси. В качестве примера на рис. 12 представлены типичные аппаратурные кривые для датчика теплопроводности и ионизационной камеры.

## ЗАКЛЮЧЕНИЕ

Для исследования мюонного катализа ядерных реакций синтеза коллаборацией РФЯЦ-ВНИИ-

ЭФ (Саров) и ОИЯИ (Дубна) в 1966 г. создана установка “Тритон”, на которой с 1997 г. регулярно проводятся физические эксперименты. Установка содержит комплекс для подготовки газовой смеси со сменными мишениями, оснащенный автоматизированной системой контроля и управления.

В ходе подготовки к экспериментам 1999 г. система автоматизации была существенно модернизирована, ей были переданы практически все функции контроля и управления комплексом подготовки газовой смеси, контроля и управления параметрами мишени, контроля состава газовой смеси и дозиметрического контроля.

Модернизированная система контроля и управления построена на современной аппаратурной базе, что позволило существенно повысить точность и надежность измерения физических и технологических параметров.

В ходе многочисленных физических экспериментов, проведенных на установке “Тритон”, программно-аппаратный комплекс системы контроля и управления показал хорошие эксплуатационные характеристики и высокую надежность.

Принятый подход к построению с.к.у. в виде распределенной сети интеллектуальных модулей и используемый программный пакет CRW-DAQ позволяют легко адаптироваться к изменениям в аппаратуре к.п.г.с. и мишней, возникающим при подготовке к новым экспериментам: изменению типов датчиков, введению новых датчиков, добавлению новых источников с нагревателями и т.д.



Рис. 11. Шумовая характеристика измерительного канала с электрометрическим усилителем.

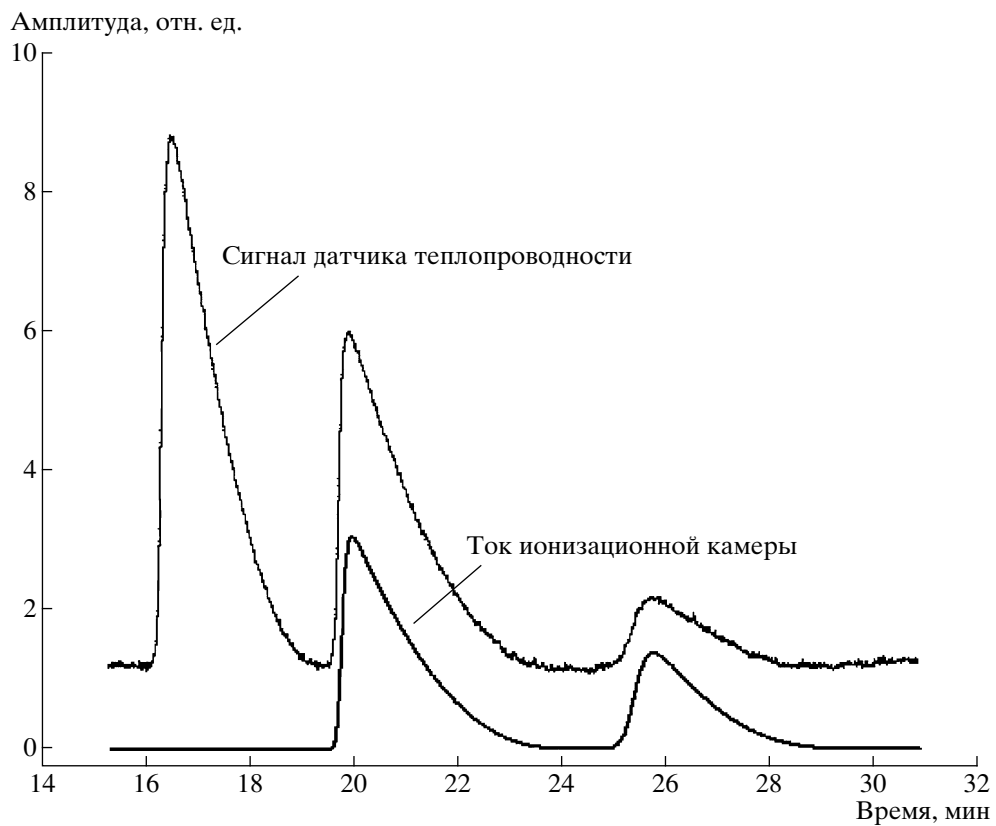


Рис. 12. Аппаратурные кривые анализа молекулярной смеси.

Опыт, накопленный в процессе разработки и эксплуатации системы контроля и управления комплекса, был успешно применен при автоматизации установок, использующих тритиевые технологии: универсального исследовательского стенда для изучения явлений накопления и пропускания трития металлами и конструкционными материалами [10] и комплекса тритиевой мишени для исследования экзотических нейтронно-избыточных ядер [11].

Авторы выражают благодарность всем специалистам и сотрудникам ВНИИЭФ, принимавшим участие в разработке, изготовлении и испытаниях системы контроля и управления комплекса.

### СПИСОК ЛИТЕРАТУРЫ

1. Юхимчук А.А., Апасов В.А., Виноградов Ю.И. и др. // ПТЭ. 1999. № 6. С. 17; Yukhimchuk A., Apasov V.A., Vinogradov Yu.I. et al. // Hyperfine Interactions. 1999. V. 119. P. 341.
2. Demin D.L., Dzhelepov V.P., Grafov N.N. et al. // Hyperfine Interaction. 1996. V. 101/102. P. 583.
3. Demin D.L., Dzhelepov V.P., Filchenkov V.V. et al. // Hyperfine Interaction. 1996. V. 101/102. P. 591.
4. Графов Н.Н., Гребинник В.Г., Демин Д.Л. и др. Препринт ОИЯИ Р13-97-243. Дубна, 1977; // ПТЭ. 1999. № 1. С. 21; Demin D.L., Dzhelepov V.P., Grafov N.N. et al. // Hyperfine Interaction. 1999. V. 119. P. 349.
5. Перевозчиков В.В., Юхимчук А.А., Ганчук Н.С. и др. // ПТЭ. 1999. № 1. С. 28; Perevozchikov V.V. et al. // Hyperfine Interactions. 1999. V. 118. P. 353.
6. Перевозчиков В.В., Юхимчук А.А., Виноградов Ю.И. и др. // ВАНТ. Серия: Физика ядерных реакторов. 2002. Вып. 1/2. С. 177; ПТЭ. 2002. № 4. С. 155; Perevozchikov V.V., Yukhimchuk A.A., Vinogradov Yu.I. et al. // Hyperfine Interactions. 1999. V. 118. P. 353.
7. Ширнин П.В., Виноградов Ю.И., Голубков А.Н. и др. Препринт РФЯЦ-ВНИИЭФ 83-2002. Саров, 2002.
8. Golubkov A.N., Yukhimchuk A.A. // Journal of the Moscow physical society. 1999. V. 9. № 3. P. 223.
9. Клевцов В.Г., Лобанов В.Н., Хабаров Ю.А. и др. // Материаловедение. 2002. № 5. С. 53.
10. Виноградов Ю.И., Курякин А.В., Арюткин В.С. и др. // Материаловедение. 2002. № 1. С. 46.
11. Виноградов Ю.И., Арюткин В.С., Курякин А.В. и др. // ВАНТ. Серия: Физика ядерных реакторов. Вып. 1/2. 2002. С. 197.